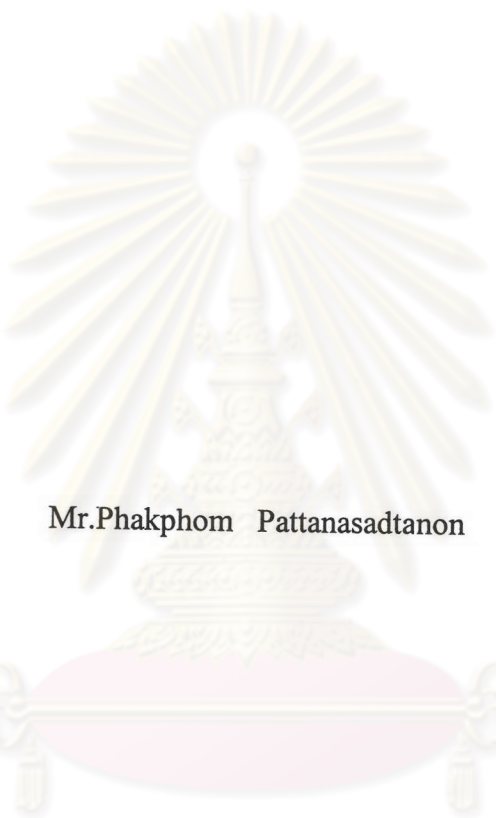


พุติกรรมของเส่าค่อนกรีตกำลังสูงภายใต้การ โอบรัดของเหล็กปลอก

นายภาณุภูมิ พัฒนเศรษฐีวนนท์

ศูนย์วิทยทรัพยากร
อุดรลงกรณ์มหาวิทยาลัย
วิทยานินพนนี้เป็นส่วนหนึ่งของการศึกษาตามหลักสูตรวิศวกรรมศาสตรมหาบัณฑิต
สาขาวิชาวิศวกรรมโยธา ภาควิชาวิศวกรรมโยธา
คณะวิศวกรรมศาสตร์ จุฬาลงกรณ์มหาวิทยาลัย
ปีการศึกษา 2546
ISBN 974-17-5433-7
ลิขสิทธิ์ของจุฬาลงกรณ์มหาวิทยาลัย

BEHAVIOR OF HIGH-STRENGTH CONCRETE COLUMNS CONFINED BY
TRANSVERSE REINFORCEMENT



Mr.Phakphom Pattanasadtanon

ศูนย์วิทยทรัพยากร
จุฬาลงกรณ์มหาวิทยาลัย

A Thesis Submitted in Partial Fulfillment of the Requirements
for the Degree of Master of Engineering in Civil Engineering

Department of Civil Engineering

Faculty of Engineering
Chulalongkorn University

Academic Year 2003

ISBN 974-17-5433-7

หัวข้อวิทยานิพนธ์

พฤติกรรมของเสาค่อนกรีตกำลังสูงภายใต้การโอบรัดของเหล็กปลอก

โดย

นายภาคภูมิ พัฒนศรียานนท์

สาขาวิชา

วิศวกรรมโยธา

อาจารย์ที่ปรึกษา

ศาสตราจารย์ ดร. ปณิธาน ลักษณะประสิทธิ์

คณะกรรมการคุณวิศวกรรมศาสตร์ จุฬาลงกรณ์มหาวิทยาลัย อนุมัติให้นับวิทยานิพนธ์ฉบับนี้เป็นส่วนหนึ่งของการศึกษาตามหลักสูตรปริญญามหาบัณฑิต

..... คณบดีคุณวิศวกรรมศาสตร์
(ศาสตราจารย์ ดร. คิเรก ลาวัณย์ศิริ)

คณะกรรมการสอบวิทยานิพนธ์

..... ประธานกรรมการ
(รองศาสตราจารย์ ดร. ทศพล ปืนแก้ว)

..... อาจารย์ที่ปรึกษา
(ศาสตราจารย์ ดร. ปณิธาน ลักษณะประสิทธิ์)

..... กรรมการ
(อาจารย์ ดร. อาณัต เรืองรัตน์)

ภาคภูมิ พัฒนาเครยฐานนท์ : พฤติกรรมของเสาคอนกรีตกำลังสูงภายใต้การโอบรัดของเหล็กปลอก.
(BEHAVIOR OF HIGH-STRENGTH CONCRETE COLUMNS CONFINED BY TRANSVERSE REINFORCEMENT) อ. ที่ปรึกษา : ศ.ดร. ปกรณ์ ลักษณะประธิพันธ์, 143 หน้า. ISBN 974-17-5433-7.

ถึงแม้หลักการออกแบบอาคารต้านทานแผ่นดินไหวจะพยายามทำให้เกิดข้อหnungพลาสติกขึ้นในคนมากกว่าในเสา แต่ความไม่แน่นอนของแผ่นดินไหวทำให้เป็นไปได้ที่จะเกิดข้อหnungพลาสติกขึ้นในเสา ดังนั้นเพื่อความปลอดภัยจึงจำเป็นต้องออกแบบเสาให้มีความเหนียวที่เพียงพอ และต้องไม่เกิดการวินบัดดี้แวงเมื่อฉัน ซึ่งเป็นการวินบัดดี้ที่ประะและเป็นอันตราย สมการออกแบบเหล็กปลอกโอบรัดของข้อกำหนด ACI 318-99 ได้มาจากการทดสอบของเสาคอนกรีตกำลังธรรมชาติ และไม่ได้คำนึงถึงผลของแรงตามแนวแกนและรูปร่างการจัดเรียงเหล็กปลอก ดังนั้นจึงจำเป็นต้องมีการปรับปรุงสมการออกแบบเหล็กปลอกโอบรัดสำหรับเสาคอนกรีตกำลังสูง โดยมีการคำนึงถึงตัวแปรที่สำคัญเหล่านี้

รายงานนี้เสนอผลการวิเคราะห์ความถดถอยข้อมูลทดสอบเสาคอนกรีตกำลังสูงที่มีกำลังคอนกรีตประมาณ 70 MPa - 110 MPa ภายใต้แรงอัดตามแนวแกนคงที่ และแรงกระทำด้านข้างแบบวัฏจักร เพื่อหาความสัมพันธ์ระหว่างค่าอัตราส่วนเหล็กปลอกโอบรัดประสิทธิผล ซึ่งเสนอโดยปกรณ์ ลักษณะประธิพันธ์ กับค่าความเหนียวเชิงการเคลื่อนตัว และความสัมพันธ์ระหว่างค่าความเหนียวเชิงการเคลื่อนตัวกับตัวแปรพฤติกรรมอื่นๆ ของเสาคอนกรีตกำลังสูง อีกทั้งได้มีการตรวจสอบสมการคำนวณกำลังรับแรงเฉือนต่างๆ เช่น สมการของ ACI 318-99 เมื่อใช้กับเสาคอนกรีตกำลังสูง

จากการวิเคราะห์ข้อมูลทดสอบเสาคอนกรีตกำลังสูง พบว่า ค่าอัตราส่วนเหล็กปลอกโอบรัดประสิทธิผล มีความสัมพันธ์กับค่าความเหนียวเชิงการเคลื่อนตัวอย่างชัดเจน และสามารถนำความสัมพันธ์ดังกล่าวไปประยุกต์ใช้ในการออกแบบเหล็กปลอกโอบรัดสำหรับเสาคอนกรีตกำลังสูงได้ รวมทั้งสามารถประเมินค่าสมรรถนะของเสาอื่นๆ เช่น การถลายพลังงาน การเสื่อมคลายของศติฟเนสประสิทธิผล เป็นต้น ค่าอัตราส่วนเหล็กปลอกโอบรัดประสิทธิผลนี้สามารถคำนึงถึงผลปริมาณเหล็กเสริมโอบรัด และผลของรูปร่างการจัดเรียงเหล็กปลอกได้เป็นที่น่าพอใจเมื่อระดับแรงในแนวแกนไม่ต่ำกว่า 20 % ของค่าที่คำนวณจากกำลังอัดของคอนกรีตและเนื้อที่หน้าตัดของเสา

จากการวิเคราะห์ความสามารถรับแรงด้านข้างของเสาคอนกรีตกำลังสูงที่เกิดการวินบัดดี้โดยการดัด พบว่า การใช้หน่วยแรงอัดรูปสี่เหลี่ยมผืนผ้าเทียบเท่าตามที่กำหนดโดย ACI 318-99 มีความปลอดภัยลดลงเมื่อกำลังคอนกรีตมีค่าสูงขึ้น และไม่ปลอดภัยเพียงพอสำหรับเสาที่มีกำลังคอนกรีตตั้งแต่ 90 MPa ขึ้นไป และในส่วนของการวิเคราะห์กำลังรับแรงเฉือนของเสาคอนกรีตกำลังสูงที่เกิดการวินบัดดี้โดยการเฉือน พบร่วมกับสมการคำนวณกำลังเฉือนของ ACI 318-99 ไม่ปลอดภัยสำหรับการออกแบบเสาคอนกรีตกำลังสูงกว่า 50 MPa ภายใต้แรงแผ่นดินไหว

ภาควิชา วิศวกรรมโยธา
 สาขาวิชา วิศวกรรมโครงสร้าง
 ปีการศึกษา 2546

ลายมือชื่อนิสิต มนต์ พานิชพันธุ์
 ลายมือชื่ออาจารย์ที่ปรึกษา พันธุ์ศักดิ์

4370439821 : MAJOR CIVIL ENGINEERING

KEY WORDS : HIGH-STRENGTH CONCRETE COLUMNS / TRANSVERSE REINFORCEMENT / EFFECTIVE CONFINEMENT
 STEEL RATIO / DUCTILITY / ENERGY DISSIPATION / SHEAR STRENGTH
 PHAKPHOM PATTANASADTANON : BEHAVIOR OF HIGH-STRENGTH CONCRETE COLUMNS
 CONFINED BY TRANSVERSE REINFORCEMENT. THESIS ADVISOR : PANITAN LUKKUNAPRASIT, Ph.D.,
 143 pp. ISBN 974-17-5433-7.

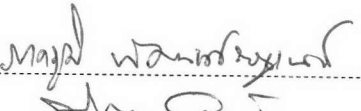
Although the principle of seismic design of buildings calls for formation of plastic hinges in girders rather than in columns, the uncertainty of earthquakes makes it possible for plastic hinges to form in columns. Therefore, for the sake of safety, it is necessary to design columns with sufficient ductility and shear capacity to avoid the brittle failure which is dangerous. The confinement steel design equation of ACI 318-99 is based on test data of normal-strength concrete columns and does not account for the effect of axial load and transverse reinforcement configuration. Hence the ACI design equation needs to be improved for high-strength concrete columns to reflect these important parameters.

This report presents the regression analysis results of high-strength column test data which include concrete strength in the range of 70 to 110 MPa. The columns considered were subjected to constant axial compression load and cyclic lateral load. The relationship between the effective confinement steel ratio proposed by Lukkunaprasit and the displacement ductility factor, and the relationships between the displacement ductility factor and other performance indexes for high-strength concrete columns are developed. Furthermore several shear strength equations, e.g. the ACI 318-99 equation, are checked against high-strength concrete column test data.

From the analyses of high-strength concrete column test data it is found that the effective confinement steel ratio has an evident relationship with the displacement ductility factor, and such relationship can be applied in the confinement steel design of high-strength concrete columns. Moreover other column performances such as energy dissipation, effective stiffness degradation, can be assessed. The effective confinement steel ratio can satisfactorily take into account the effect of amount of confinement steel and steel configuration when the axial load level is not lower than 20% of axial load capacity based on concrete strength and gross cross-sectional area.

From the analyses of lateral load capacity of high-strength concrete columns failed in flexure it is found that the use of the equivalent rectangular compressive stress block as defined by ACI 318-99 is less conservative with increase in concrete strength, and it is not safe enough for columns with concrete strength above 90 MPa. As for high-strength concrete columns failed in shear it appears that the ACI 318-99 shear strength equation is not safe for the design of columns under seismic action when the compressive strength is higher than 50 MPa.

Department Civil Engineering
 Field of study Civil Engineering
 Academic year 2003

Student's signature 
 Advisor's signature 

กิตติกรรมประกาศ

ในการจัดทำวิทยานิพนธ์ครั้งนี้ ข้าพเจ้าขอกราบขอบพระคุณ ศาสตราจารย์ ดร.ปณิธาน ลักษณะประสิทธิ์ อาจารย์ที่ปรึกษาวิทยานิพนธ์ ที่ได้ให้ความรู้และคำแนะนำ ต่าง ๆ ที่เป็นประโยชน์ ตลอดจนคุ้มครองเอาใจใส่ทุก ๆ ขั้นตอนการทำวิจัยและการทำวิทยานิพนธ์ รวมทั้งกรุณาตรวจสอบและแก้ไขวิทยานิพนธ์ฉบับนี้จนสำเร็จลุล่วงอย่างสมบูรณ์ นอกจากนี้ ข้าพเจ้าขอกราบขอบพระคุณ รองศาสตราจารย์ ดร.ทศพล ปั่นแก้ว ประธานกรรมการสอบวิทยานิพนธ์ และ อาจารย์ ดร.อาณัติ เรืองรัศมี กรรมการสอบวิทยานิพนธ์ ที่กรุณามาเสียสละเวลาตรวจทานและให้ข้อแนะนำวิทยานิพนธ์ฉบับนี้

ข้าพเจ้าขอขอบพระคุณ คุณจรุญ เดชาภูล ที่ได้ให้คำแนะนำเกี่ยวกับเรื่อง คอมพิวเตอร์กับข้าพเจ้าด้วยดีตลอดมา และขอขอบพระคุณ คุณอุทัยวรรณ มหาอุดมพันธ์ ที่ได้ช่วยในการพิมพ์เอกสารวิทยานิพนธ์จนเสร็จสมบูรณ์

ท้ายที่สุดนี้ บุคคลที่ข้าพเจ้าจะถือมิได้ก็คือ มารดา ที่เคยให้กำลังใจ และอบรมสั่งสอนข้าพเจ้าตลอดมา รวมทั้งพระคุณของครูบาอาจารย์ทุกท่านที่ได้อบรมสั่งสอน และให้ความรู้แก่ข้าพเจ้าตั้งแต่เริ่มต้นการศึกษาเล่าเรียนจนถึงปัจจุบัน สิ่งต่าง ๆ เหล่านี้ ข้าพเจ้าจะจำไว้ในใจตลอดไป

**ศูนย์วิทยทรัพยากร
จุฬาลงกรณ์มหาวิทยาลัย**

สารบัญ

	หน้า
บทคัดย่อภาษาไทย	๑
บทคัดย่อภาษาอังกฤษ	๒
กิตติกรรมประกาศ	๓
สารบัญ	๔
สารบัญตาราง	๕
สารบัญรูป	๖
บทที่ 1 บทนำ	๑
1.1 ความเป็นมาของปัญหา	๑
1.2 งานวิจัยที่เกี่ยวข้อง	๒
1.3 วัตถุประสงค์ของงานวิจัย	๔
1.4 ขอบเขตของการวิจัย	๕
1.5 ประโยชน์ที่คาดว่าจะได้รับ	๕
1.6 วิธีการดำเนินการวิจัย	๖
บทที่ 2 หลักการและทฤษฎีที่เกี่ยวข้อง	๗
2.1 กลไกการโอบรักคอนกรีตโดยเหล็กปลอก	๗
2.1.1 อิทธิพลของการโอบรักที่มีต่อกองกรีต	๗
2.1.2 ประโยชน์ของการโอบรัก	๙
2.1.3 ชนิดของการโอบรัก	๙
2.2 พฤติกรรมของเสา HSC ที่รับแรงตามแนวแกนตรงศูนย์	๑๐
2.2.1 ผลของกองกรีตหุ้ม	๑๐
2.2.2 ผลของอัตราส่วนปริมาตรของเหล็กปลอก	๑๑
2.2.3 ผลของกำลังจุดครากของเหล็กปลอก	๑๒
2.2.4 ผลของการจัดเรียงเหล็กยืนและการจัดเรียงเหล็กปลอก	๑๒

สารบัญ (ต่อ)

หน้า

2.3	พฤติกรรมของเสา HSC ที่รับแรงตามแนวแกนร่วมกับ โน้ม men ตัด.....	15
2.3.1	ผลของกำลังคอนกรีต (f'_c) และระดับของแรงตามแนวแกน ($P/f'_c A_g$ หรือ P/P_o) ต่อความเหนียว.....	18
2.3.2	ผลของกำลังจุดครากของเหล็กปลอก (f_{yh}) ต่อความเหนียว.....	18
2.3.3	ผลของการจัดเรียงเหล็กปลอกต่อความเหนียว.....	20
2.4	วิธีการประเมินพฤติกรรม.....	20
2.4.1	อัตราส่วนความหน่วงเชิงหนึดเทียบเท่า (equivalent viscous damping ratio, ξ_{eq}) และสติฟเนสประสิทธิผล (effective stiffness, k_{eff}).....	22
2.5	วิธีการออกแบบเหล็กปลอกโดยรัศมตามข้อกำหนด ACI 318-99.....	24
2.6	การวิเคราะห์ประเมินความต้องการตามข้อกำหนดของ ACI ในปัจจุบันสำหรับเหล็กปลอกโดยรัศมในเสาปลอกเดียว.....	28
2.7	สมการออกแบบเหล็กปลอกโดยรัศมที่เสนอโดย Watson, Zahn และ Park [1994].....	30
2.8	วิธีการออกแบบเหล็กปลอกโดยรัศมตามข้อกำหนด NZS 3101:1995.....	35
2.9	สมการออกแบบเหล็กปลอกเดียวเพื่อการ โอบรัศมของเสาคอนกรีต กำลังธรรมชาติเสนอโดย Sheikh และ Khoury [1997].....	38
2.10	สมการออกแบบเหล็กปลอกเดียวเพื่อการ โอบรัศมของเสาคอนกรีต กำลังสูงที่เสนอโดย Bayrak และ Sheikh [1998].....	41
2.11	การออกแบบเหล็กปลอกเดียวเพื่อการ โอบรัศมของเสาคอนกรีต ที่เสนอโดย Lukkunaprasit [2000].....	42
บทที่ 3	ผลการวิเคราะห์ข้อมูลทดสอบเสาคอนกรีตกำลังสูง.....	45
3.1	ข้อมูลทดสอบเสาคอนกรีตกำลังสูงที่ใช้ในการวิเคราะห์.....	45
3.2	ความสัมพันธ์ระหว่างค่าอัตราส่วนเหล็กปลอกประสิทธิผล กับค่าความเหนียวเชิงการเคลื่อนตัว.....	47

สารบัญ (ต่อ)

หน้า

3.3	ความสัมพันธ์ระหว่างค่าความหนาแน่นของเชิงการเคลื่อนตัวกับ ตัวแปรพุทธิกรรมอื่น ๆ	50
3.4	ความสามารถของกำลังดัดในการรับแรงด้านข้าง (flexural capacity) ของเสาคอนกรีตกำลังสูง	52
3.5	กำลังรับแรงเฉือน (Shear strength) ของเสาคอนกรีตกำลังสูง	53
บทที่ 4	สรุปผลการวิจัย	55
รายการอ้างอิง		56
ภาคผนวก		107
ภาคผนวก ก	รูปเส้นโค้งโอบคลุมของวงรอบอิสเทียรีซิส สำหรับเสาทดสอบที่มีข้อมูลเชิงเลข	108
ภาคผนวก ข	วิธีการเปลี่ยนระบบหน่วยในสูตรเอมพิริคอล	132
ภาคผนวก ค	รูปแสดงอาการสูง	134
ภาคผนวก ง	รูปความเสียหายของเสาจากเหตุการณ์แผ่นดินไหวที่ผ่านมา	138
ประวัติผู้เขียนวิทยานิพนธ์		143

**ศูนย์วิทยทรัพยากร
จุฬาลงกรณ์มหาวิทยาลัย**

สารบัญตาราง

ตารางที่	หน้า
3.1 ข้อมูลคินของเสาตคสอบคอนกรีตกำลังสูงที่ใช้ในการวิเคราะห์	62
3.2 ค่าอัตราส่วนเหล็กปลอกประสิทธิผล และความเหนียวเชิงการเคลื่อนตัวที่ได้จากการสร้างเส้นโค้งโอบคลุม	65
3.3 ค่าอัตราส่วนเหล็กปลอกประสิทธิผล และความเหนียวเชิงการเคลื่อนตัวที่ได้จากการออกแบบโครงสร้าง	67
3.4 ค่าความเหนียวเชิงการเคลื่อนตัว และตัวแปรพุติกรรมต่าง ๆ	71
3.5 ค่าความสามารถของกำลังดัดในการรับแรงด้านข้าง (flexural capacity) ที่คำนวณได้ตามข้อกำหนด ACI 318-99	73
3.6 ค่ากำลังรับแรงเฉือน (shear strength) ที่คำนวณได้โดยสมการต่าง ๆ	76

ศูนย์วิทยทรัพยากร
จุฬาลงกรณ์มหาวิทยาลัย

สารบัญรูป

รูปที่

หน้า

2.1	อิทธิพลของการโอบรัดชนิดต่าง ๆ ต่อพฤติกรรมความเค้น-ความเครียด (Penelis and Kappos [1997])	77
2.2	ชนิดของการโอบรัด (Penelis and Kappos [1997])	77
2.3	ความสัมพันธ์ของแรงตามแนวและการหดตัวของเสาคอนกรีตกำลังสูง (ACI – ASCE Committee 441 [1997])	78
2.4	กลไกการกระเทาะออกของคอนกรีตหุ้ม (ACI – ASCE Committee 441 [1997])	78
2.5	ผลของเหล็กปลอกต่อความหนึ่ยตามแนวแกนของเสาคอนกรีตกำลังสูง (ACI – ASCE Committee 441 [1997])	79
2.6	ผลของเหล็กปลอกต่อกำลังอัดของคอนกรีตกำลังสูง (ACI – ASCE Committee 441 [1997])	79
2.7	ผลของการจัดเรียงเหล็กปลอกต่อการกระจายหน่วยแรงโอบรัด (Saatcioglu and Razvi [2002])	80
2.8	สมดุลย์ของแรงดันโอบรัดต่อแกนคอนกรีต (Watson et al. [1994])	80
2.9	ตัวอย่างเสาทดสอบในห้องปฏิบัติการ (ACI – ASCE Committee 441 [1997])	81
2.10	ประวัติการให้แรงกระทำต่อเสาทดสอบ	81
2.11	วิธีการประเมินค่าความหนึ่ยเชิงการเคลื่อนตัว (Lukkunaprasit and Thepmangkorn [2004])	82
2.12	อัตราส่วนความหน่วงเชิงหนึ่ดเที่ยงเท่า (Priestley et al. [1996])	82
2.13	วงรอบชีสเทียร์ชิสของส่วนโครงสร้างต่าง ๆ (Priestley et al [1996])	83
2.14	ความสัมพันธ์ระหว่างความหนึ่ยกับอัตราส่วนความหน่วง (Priestley [1997])	83
2.15	การให้รายละเอียดเหล็กปลอกตามความยาวของเสาตามข้อกำหนด ACI (PCA)	84

สารบัญรูป (ต่อ)

รูปที่	หน้า
2.16 การให้รายละเอียดเหล็กปลอกในหน้าตัดเสาตามข้อกำหนด ACI (PCA)	85
2.17 ตัวอย่างเสาที่ใช้ในการพัฒนาสมการออกแบบเหล็กปลอกของ Watson, Zahn และ Park [1994] (Watson et al. [1994])	86
2.18 ความยาวที่ต้องการการโอบรัดของเสา (Watson et al. [1994])	87
2.19 แนวคิดพื้นที่แกนคอนกรีตที่ถูกโอบรัดอย่างมีประสิทธิภาพ (Sheikh and Khoury [1997])	87
2.20 ประเภทของการจัดเรียงเหล็กปลอกตาม Sheikh และ Khoury [1997]	88
3.1 ชนิดของเสาทดสอบที่ใช้ในการวิเคราะห์ (Taylor et al. [1997])	89
3.2 ชนิดของการจัดเรียงเหล็กปลอกที่ใช้ในการวิเคราะห์ (http://maximus.ce.washington.edu/~peera1)	90
3.3 ความสัมพันธ์ระหว่างอัตราส่วนเหล็กปลอกประสิทธิผลกับความหนาวย เชิงการเคลื่อนตัวที่ได้จากการสร้างเส้นโค้งโอบคลุม	93
3.4 ตัวแปรของแรงตามแนวแกน (Y_p) ที่เสนอโดย Sheikh และ Khoury [1997]	94
3.5 วิเคราะห์ความถดถอยของความสัมพันธ์ระหว่างอัตราส่วนเหล็กปลอก ประสิทธิผลกับความหนาวยเชิงการเคลื่อนตัวที่ได้จากการสร้างเส้นโค้ง โอบคลุม	95
3.6 วิธีการหาค่าการเคลื่อนตัวจุดครากของนักวิจัยต่าง ๆ	96
3.7 ความสัมพันธ์ระหว่างอัตราส่วนเหล็กปลอกประสิทธิผลกับความหนาวย เชิงการเคลื่อนตัวที่รายงานในเอกสารการวิจัย	98
3.8 วิเคราะห์ความถดถอยของความสัมพันธ์ระหว่างอัตราส่วนเหล็กปลอก ประสิทธิผลกับความหนาวยเชิงการเคลื่อนตัวที่รายงานในเอกสารการวิจัย	99
3.9 เปรียบเทียบผลของการโอบรัดที่มีต่อความหนาวยของเสาคอนกรีต กำลังสูงและเสาคอนกรีตกำลังธรรมชาติ	100

สารบัญรูป (ต่อ)

รูปที่	หน้า
3.10 วิเคราะห์ความถดถอยของความสัมพันธ์ระหว่างความเห็นiywเชิงการเคลื่อนตัวกับอัตราส่วนการเคลื่อนตัวคงค้าง.....	101
3.11 วิเคราะห์ความถดถอยของความสัมพันธ์ระหว่างความเห็นiywเชิงการเคลื่อนตัวกับอัตราส่วนความหน่วงเชิงหนึดเที่ยบเท่า.....	102
3.12 วิเคราะห์ความถดถอยของความสัมพันธ์ระหว่างความเห็นiywเชิงการเคลื่อนตัวและสติฟเนสประสีทิพลนอร์มัลไลซ์.....	103
3.13 วิเคราะห์ความถดถอยของความสัมพันธ์ระหว่างความเห็นiywเชิงการเคลื่อนตัวและการถ่ายทอดงานนอร์มัลไลซ์.....	104
3.14 ความสัมพันธ์ระหว่างกำลังคงกริตรและอัตราส่วนของแรงด้านข้างสูงสุดต่อกำลังความสามารถรับแรงด้านข้างที่คำนวณตาม ACI ของเสาทดสอบที่เกิดการวินัยโดยการดัด.....	105
3.15 ความสัมพันธ์ระหว่างความเห็นiywเชิงการเคลื่อนตัวและอัตราส่วนของแรงด้านข้างสูงสุดต่อกำลังรับแรงเฉือนที่คำนวณตามสมการต่าง ๆ ของเสาทดสอบที่เกิดการวินัยโดยการเฉือน.....	106

**ศูนย์วิทยทรัพยากร
จุฬาลงกรณ์มหาวิทยาลัย**